



Московский государственный университет имени М. В. Ломоносова
Факультет вычислительной математики и кибернетики
Кафедра системного анализа

Отчёт по практикуму

«Задача управления ракетой»

Студент 315 группы
А. А. Пилюшенко

Руководитель практикума
к.ф.-м.н., доцент П. А. Точилин

Москва, 2024

Содержание

1	Постановка задачи	3
2	Теоретические сведения	3
2.1	Постановка общей задачи	3
2.2	Принцип максимума Понтрягина	4
3	Эквивалентная система	6
4	Решение задачи №1	6
4.1	Применение принципа максимума Понтрягина	7
4.2	Поведение оптимальных траекторий	8
4.2.1	Отсутствие влияния, $\Phi(t) < 0$	9
4.2.2	Особый режим, $\Phi(t) = 0$	9
4.2.3	Максимальное ускорение, $\Phi(t) > 0$	11
4.3	Теорема о переключениях	14
4.4	Случай №1	15
4.4.1	Аномальный случай, $\psi_0 = 0$	15
4.4.2	Нормальный случай, $\psi_0 = -1$	16
4.5	Случай №2	18
4.6	Алгоритм численного решения задачи	20
4.6.1	Случай №1	20
4.6.2	Случай №1, нормальный	20
4.6.3	Случай №2	21
4.7	Примеры работы алгоритма	22
4.7.1	Пример 1	22
4.7.2	Пример 2	23
5	Решение задачи №2	24
5.1	Применение принципа максимума Понтрягина	24
5.2	Вывод алгоритма	26
5.3	Алгоритм численного решения задачи	27
5.4	Пример работы алгоритма	29

1 Постановка задачи

Движение ракеты в вертикальной плоскости над поверхностью планеты описывается дифференциальными уравнениями:

$$\begin{cases} \dot{m}v + m\dot{v} = -mg + lu, \\ \dot{m} = -u, \end{cases} \quad (1)$$

где $v \in \mathbb{R}$ — скорость ракеты, m — её переменная масса, $g > 0$ — гравитационная постоянная, $l > 0$ — коэффициент, определяющий силу, действующую на ракету со стороны сгорающего топлива, $u \in [0, u_{\max}]$ — скорость подачи топлива, $u_{\max} > 0$. Кроме того, известна масса корпуса ракеты без топлива $M > 0$.

Задан начальный момент времени $t_0 = 0$, начальная скорость $v(0) = 0$, а также начальная масса ракеты с топливом $m(0) = m_0 > M$.

Задача 1. Необходимо за счет выбора программного управления $u(t)$ (т.е. $u(t) \in \mathbb{R}, \forall t$) перевести ракету на максимально возможную высоту в заданный момент времени $T > 0$ так, чтобы $v(T) = 0$.

Задача 2. Необходимо за счет выбора программного управления $u(t)$ (т.е. $u(t) \in \mathbb{R}, \forall t$) перевести ракету на заданную высоту $H > 0$ в заданный момент времени $T > 0$ так, чтобы при этом минимизировать функционал

$$J[u(\cdot)] = \int_0^T (u^2(t) + \alpha u(t)) dt, \quad \alpha > 0.$$

Замечание. В начальный момент времени ракета находится на поверхности Земли и двигаться "вниз" не может (данный вариант можно не рассматривать).

Замечание. В каждый момент времени масса ракеты с топливом m не должна быть меньше массы ракеты без топлива M . В случае, если топливо заканчивается, двигатель ракеты отключается.

2 Теоретические сведения

2.1 Постановка общей задачи

Задана, вообще говоря, нелинейная автономная система обыкновенных дифференциальных уравнений

$$\dot{x}(t) = f(x(t), u(t)), \quad (2)$$

где $x(\cdot), f(\cdot, \cdot) \in \mathbb{R}^n$, $u(\cdot) \subset \mathcal{P} \in \mathbb{R}^m$, где \mathcal{P} — замкнутое множество, и функция $f(x, u)$ непрерывна по совокупности переменных (x, u) и непрерывно дифференцируема по вектору переменных x .

Заданы начальное и конечное множества $\mathcal{X}_0, \mathcal{X}_1$, которые являются гладкими многообразиями, и начальные условия

$$x(t_0) = x^0 \in \mathcal{X}_0, \quad x(t_1) = x^1 \in \mathcal{X}_1 \quad (3)$$

при фиксированном времени t_0 , свободном конечном времени t_1 , начальном и конечном условиях x^0, x^1 .

Ставится задача минимизации функционала

$$J[u(\cdot)] = \int_{t_0}^{t_1} f^0(x(t), u(t)) dt \rightarrow \inf_{u \in \mathcal{P}}, \quad (4)$$

где $f^0(x, u)$ имеет те же ограничения, что и функция $f(x, u)$, и квадратными скобками обозначается главная (рассматриваемая нами) зависимость (при этом сам функционал может зависеть от других переменных и постоянных).

Таким образом, необходимо найти оптимальное время t_1^* , оптимальное управление $u^*(t)$ и соответствующую оптимальную траекторию $x^*(t)$ системы (2), которая переводит некоторую точку x^0 из \mathcal{X}_0 в некоторую точку x^1 из \mathcal{X}_1 , чтобы при этом достигался минимум функционала (4).

2.2 Принцип максимума Понтрягина

Введём следующие обозначения:

$$\begin{aligned} x &= (x_1, x_2, \dots, x_n)^T, & f &= (f_1, f_2, \dots, f_n)^T, \\ x^0 &= (x_1^0, x_2^0, \dots, x_n^0)^T, & x^1 &= (x_1^1, x_2^1, \dots, x_n^1)^T; \end{aligned}$$

и новую переменную, отвечающую за значение функционала (4):

$$x_0(t) = \int_{t_0}^t f^0(x(\tau), u(\tau)) d\tau.$$

Переменная $x_0(t)$ обладает следующими свойствами:

$$\dot{x}_0(t) = f^0(x(t), u(t)), \quad x_0(t_0) = 0, \quad x_0(t_1) = J[u(\cdot)] \equiv J.$$

Рассмотрим систему

$$\begin{cases} \dot{x}_0(t) = f^0(x(t), u(t)), \\ \dot{x}_1(t) = f_1(x(t), u(t)), \\ \dot{x}_n(t) = f_n(x(t), u(t)), & \Longleftrightarrow \quad \dot{\bar{x}}(t) = \bar{f}(x(t), u(t)), \\ \dots \\ \dot{x}_n(t) = f_n(x(t), u(t)). \end{cases}$$

где $\bar{x} = (x_0, x_1, \dots, x_n)^T$, $\bar{f} = (f^0, f_1, \dots, f_n)^T$.

Согласно описанной выше формулировке, вектор переменных \bar{x} удовлетворяет условиям:

$$\bar{x}(t_0) = (0, x_1^0, \dots, x_n^0)^T, \quad \bar{x}(t_1) = (J, x_1^1, \dots, x_n^1)^T.$$

Введём вектор сопряженных переменных $\psi(\cdot) \in \mathbb{R}^n$:

$$\psi = (\psi_1, \psi_2, \dots, \psi_n)^T;$$

и расширенный вектор сопряженных переменных $\bar{\psi}(\cdot) \in \mathbb{R}^{n+1}$:

$$\bar{\psi} = (\psi_0, \psi_1, \psi_2, \dots, \psi_n)^T.$$

Введём функцию Гамильтона-Понтрягина:

$$\overline{\mathcal{H}}(x(t), \overline{\psi}(t), u(t)) := \langle \overline{\psi}(t), \overline{f}(x(t), u(t)) \rangle \equiv \langle \overline{\psi}, \overline{f} \rangle = \psi_0 f^0 + \langle \psi, f \rangle;$$

и гамильтониан:

$$\overline{\mathcal{M}}(x(t), \overline{\psi}(t)) = \sup_{u \in \mathcal{P}} \overline{\mathcal{H}}(x(t), \overline{\psi}(t), u), \quad \forall t.$$

Справедливо следующее необходимое условие оптимальности.

Теорема 1 (принцип максимума Понтрягина). Пусть $\{x^*(t), u^*(t)\}$ — оптимальная пара (2),(3),(4) при $t \in [t_0, t_1^*]$. Тогда $\exists \overline{\psi}^*(\cdot) : [t_0, t_1^*] \rightarrow \mathbb{R}^{n+1}$, $\overline{\psi}^* \not\equiv 0$, непрерывно дифференцируемая и, кроме того, имеют место следующие соотношения:

1) (сопряженная система)

$$\dot{\overline{\psi}}^* = - \frac{\partial \overline{\mathcal{H}}}{\partial \overline{x}} \bigg|_{\substack{x(\cdot) = x^*(\cdot) \\ \overline{\psi}(\cdot) = \overline{\psi}^*(\cdot) \\ u(\cdot) = u^*(\cdot)}} \quad (5)$$

2) (условие максимума)

$$\sup_{u \in \mathcal{P}} \overline{\mathcal{H}}(x^*(t), \overline{\psi}^*(t), u) = \overline{\mathcal{H}}(x^*(t), \overline{\psi}^*(t), u^*(t)), \quad \forall t. \quad (6)$$

3) (постоянство гамильтониана и ψ_0^*)

$$\psi_0^* = \text{const} \leq 0, \quad \overline{\mathcal{M}}(\overline{\psi}^*(t), x^*(t)) \equiv 0 \text{ для почти всех } t. \quad (7)$$

4) (условие трансверсальности на правом конце)

$$\psi^*(t_1^*) \perp T_{x^*(t_1^*)} \mathcal{X}_1. \quad (8)$$

(и условие трансверсальности на левом конце)

$$\psi^*(t_0) \perp T_{x^*(t_0)} \mathcal{X}_0. \quad (9)$$

где $T_x \mathcal{X}_0, T_x \mathcal{X}_1$ — касательные подпространства в точке x множеств \mathcal{X}_0 и \mathcal{X}_1 соответственно.

Замечание 1.1 (о свойствах и упрощениях). Сопряженная система является линейно-однородной относительно $\overline{\psi}$, вектор сопряженных переменных определён с точностью до умножения на константу, что позволяет рассматривать $\psi_0^* = -1$ (нормальный случай) и $\psi_0^* = 0$ (анормальный случай) без ограничения общности и условие $\overline{\psi}^* \not\equiv 0$ можно упростить. Достаточно требовать $\overline{\psi}^*(t) \neq 0$, $\forall t \in [t_0, t_1^*]$ в силу теоремы о единственности решения однородной системы ОДУ. К тому же, $\overline{\mathcal{H}}$ не зависит от x_0 , что позволяет вынести из рассмотрения уравнение $\psi_0^* = \frac{\partial \overline{\mathcal{H}}}{\partial x_0} = 0$.

Замечание 1.2 (о переходе к фиксированному t_1). Если положить, что t_1 — фиксировано, то считаем, что t_1 — свободно, но добавим новую переменную:

$$x_{n+1}(t_0) = t_0, \quad x_{n+1}(t_1) = t_1 \Rightarrow x_{n+1}(t) = t, \quad \dot{x} = 1.$$

Тогда можем применить теорему к вектору $x \in \mathbb{R}^{n+1}$ на отрезке $[t_0, t_1]$, причем

$$\begin{aligned}\overline{\mathcal{M}} &= \sup_{u \in \mathcal{P}} (\psi_0 f^0 + \langle \psi, f \rangle + \psi_{n+1} \cdot 1) \equiv 0. \Leftrightarrow \\ &\Leftrightarrow \sup_{u \in \mathcal{P}} (\psi_0 f^0 + \langle \psi, f \rangle) \equiv \text{const}.\end{aligned}$$

ведь $\dot{\psi}_{n+1} = 0$. Т.е. равенство нулю гамильтониана сменяется равенством гамильтониана произвольной константе.

Замечание 1.3 (о условиях трансверсальности). Если \mathcal{X}_0 или \mathcal{X}_1 однотоочечное, то соответствующее условие трансверсальности выполняется $\forall \psi$.

3 Эквивалентная система

Рассмотрим систему (1) на фиксированном отрезке времени $[0, T]$. Перепишем её в удобной для нас формулировке, подставив $\dot{m}(t) = -u(t)$ в первое уравнение системы.

$$\begin{cases} \dot{v}(t) = \frac{u(t)}{m(t)}(v(t) + l) - g, \\ \dot{m}(t) = -u(t), \\ v(0) = 0, \quad m(0) = m_0. \end{cases}$$

где $m(t) \geq M$, $m_0 > M > 0$, $u(t) \in [0, u_{\max}]$, $\forall t \in [0, T]$, $l, g > 0$.

4 Решение задачи №1

Требуется за счет выбора программного управления $u(t)$ перевести ракету на максимальную высоту в заданный момент времени $T > 0$ так, чтобы $v(T) = 0$.

Приведём ряд утверждений, которые помогут применить принцип максимума Понтрягина к поставленной задаче.

Утверждение 1. *Требование достижения ракетой максимальной высоты эквивалентно максимизации функционала*

$$J[u(\cdot)] = \int_0^T v(t) dt \rightarrow \max_{u \in [0, u_{\max}]}$$

Доказательство. Рассмотрим произвольное кусочно-непрерывное управление $u(t)$ (имеет не более чем конечное число точек разрыва). Тогда скорость и масса ракеты являются интегрируемыми по Риману функциями, что позволяет явно найти координату ракеты в вертикальной плоскости. \square

Утверждение 2. *Для данной задачи*

$$\begin{aligned}\mathcal{X}_0 &= \{(0, m_0)\}, \quad \mathcal{X}_1 = \{(v, m) \in \mathbb{R}^2 \mid v = 0, m \in [M, m_0]\}; \\ &\text{если } m(T) \in (M, m_0), \text{ то } \psi_1^*(T) \neq 0, \psi_2^*(T) = 0, \\ &\text{если } m(T) \in \{M, m_0\}, \text{ то } \psi_1^*(T), \psi_2^*(T) : (\psi_1^*(T))^2 + (\psi_2^*(T))^2 \neq 0; \\ &\overline{\mathcal{M}} \equiv \text{const}.\end{aligned}$$

Доказательство. Конечное множество представляет собой отрезок при $v = 0$ на плоскости координат (v, m) . Ограничения на $\psi^*(T)$ следуют из (8), с учётом того, что нормаль к внутренности отрезка $[M, m_0]$ имеет нулевую вторую координату, нормаль в граничных точках отрезка является произвольным вектором на плоскости. Отметим, что $m(T) = m_0$ соответствует тому, что ракета не взлетела (в дальнейшем отбросим этот случай). Ограничение на гамильтониан следует из замечания о переходе к фиксированному конечному времени. \square

Утверждение 3 (условие взлёта). *Для того, чтобы ракета имела возможность оторваться от земли, необходимо и достаточно*

$$u_{\max} > \frac{gm_0}{l}. \quad (10)$$

Доказательство. Требуем

$$\dot{v}(0) > 0 \Leftrightarrow \frac{u(0)}{m(0)}(v(0) + l) - g > 0.$$

Воспользуемся начальными условиями и получим

$$u(0) > \frac{gm_0}{l}.$$

Ясно, что такое возможно только при (10), и наоборот. \square

Отметим, что ключевой особенностью задачи управления ракетой является ограниченность запасов топлива: управление задаёт скорость сгорания. При применении принципа максимума Л.С.Понтрягина масса $m(t)$ может принимать значения меньше M , является невозрастающей функцией ($\dot{m}(t) \leq 0$). Однако оптимальная масса в конечный момент времени $m^*(T)$ принимает значения из отрезка $[M, m_0]$ и также является невозрастающей. Следовательно, $m^*(t) \geq M$ во время полёта. Конечные значения скорости $v(T)$ и массы $m(T)$ накладывают ограничения на вектор сопряженных переменных $\bar{\psi}(t)$ согласно *Утверждению 2*.

Таким образом, искомая оптимальная траектория удовлетворяет формулировке принципа максимума Л.С.Понтрягина.

Везде далее предполагаем выполненным условие взлёта (10).

4.1 Применение принципа максимума Понтрягина

Таким образом, имеем следующую задачу

$$\begin{cases} \dot{v}(t) = \frac{u(t)}{m(t)}(v(t) + l) - g, \\ \dot{m}(t) = -u(t), \\ v(0) = 0, \quad v(T) = 0, \quad m(0) = m_0, \quad m(T) \geq M, \\ J = \int_0^T (-v(t))dt \rightarrow \inf_{u \in [0, u_{\max}]}, \end{cases} \quad (11)$$

где $g, l, u_{\max} > 0$, $m_0 > M > 0$, $u(t) \in [0, u_{\max}]$.

Воспользуемся принципом максимума Понтрягина на отрезке $[0, T]$. В наших обозначениях $t_0 = 0$, $t_1 = T$, $x^0 = (0, m_0)^T$ — фиксированные, вектор $x^1 \in \mathcal{X}_1$ — свободный. Всюду далее считаем $\bar{\psi}^* = \bar{\psi}$, $v^* = v$, $m^* = m$.

Рассмотрим *функцию Гамильтона-Понтрягина*

$$\begin{aligned}\bar{\mathcal{H}} = \langle \bar{\psi}, \bar{f} \rangle &= \psi_0(-v) + \psi_1 \left(\frac{u}{m}(v+l) - g \right) + \psi_2(-u) = \\ &= -\psi_0 v - g\psi_1 + u \left(\psi_1 \left(\frac{v+l}{m} \right) - \psi_2 \right),\end{aligned}\tag{12}$$

где $\psi_0 = \text{const} \leq 0$ согласно (7). Тогда из условия максимума (6)

$$u^*(t) = \begin{cases} u_{\max}, & \psi_1 \left(\frac{v+l}{m} \right) - \psi_2 > 0, \\ [0, u_{\max}], & \psi_1 \left(\frac{v+l}{m} \right) - \psi_2 = 0, \\ 0, & \psi_1 \left(\frac{v+l}{m} \right) - \psi_2 < 0. \end{cases}\tag{13}$$

Согласно (12) сопряжённая система имеет вид

$$\begin{cases} \dot{\psi}_1 = -\frac{\partial \bar{\mathcal{H}}}{\partial v} = \psi_0 - \frac{u\psi_1}{m}, \\ \dot{\psi}_2 = -\frac{\partial \bar{\mathcal{H}}}{\partial m} = \frac{u(v+l)\psi_1}{m^2}, \\ \psi_1(0) = \psi_1^0, \quad \psi_2(0) = \psi_2^0. \end{cases}\tag{14}$$

4.2 Поведение оптимальных траекторий

Обозначим выражение из левой части неравенства (13) как

$$\Phi(t) = \psi_1(t) \left(\frac{v(t)+l}{m(t)} \right) - \psi_2(t).$$

и при $[\tau_1, \tau_2] \subset [0, T]$ положим

$$\tilde{v} = v(\tau_1), \quad \tilde{m} = m(\tau_1), \quad \tilde{\psi}_1 = \psi_1(\tau_1), \quad \tilde{\psi}_2 = \psi_2(\tau_1).$$

Нас интересует, какие значения может принимать управление при начале полёта ракеты, в течение полёта, при завершении полёта и при остановке в конечный момент времени.

Для ответа на поставленный вопрос проведем первоначальное исследование на произвольном отрезке времени $[\tau_1, \tau_2]$ поведения траекторий, удовлетворяющих (11), (14) в зависимости от значений управления $u^*(t)$.

Назовём соответствующие случаи как

- $\Phi(t) > 0$ — режим максимального ускорения (МУ);
- $\Phi(t) = 0$ — особый режим (ОР);
- $\Phi(t) < 0$ — режим отсутствия влияния (ОВ).

4.2.1 Отсутствие влияния, $\Phi(t) < 0$

В данном случае $u^*(t) = 0$ при $t \in [\tau_1, \tau_2] \subset [0, T]$ и системы (11), (14) принимают вид

$$\left\{ \begin{array}{l} \dot{v} = -g, \quad v(\tau_1) = \tilde{v}; \\ \dot{m} = 0, \quad m(\tau_1) = \tilde{m}; \\ \dot{\psi}_1 = \psi_0, \quad \psi_1(\tau_1) = \tilde{\psi}_1; \\ \dot{\psi}_2 = 0, \quad \psi_2(\tau_1) = \tilde{\psi}_2. \end{array} \right. \iff \left\{ \begin{array}{l} v(t) = \tilde{v} - g(t - \tau_1), \\ m(t) = \tilde{m}, \\ \psi_1(t) = \tilde{\psi}_1 + \psi_0(t - \tau_1), \\ \psi_2(t) = \tilde{\psi}_2. \end{array} \right. \quad (15)$$

Данный случай имеет физическую интерпретацию. Ракета движется лишь под действием силы тяжести, двигатель отключен, масса не меняется.

Условие $\Phi(t) < 0$ накладывает ограничения на вектор начальных переменных

$$(\tilde{\psi}_1 + \psi_0(t - \tau_1)) \frac{\tilde{v} - g(t - \tau_1) + l}{\tilde{m}} - \tilde{\psi}_2 < 0 \quad \forall t \in [\tau_1, \tau_2].$$

Т.к. $\psi_1(t)$ невозрастает и $v(t)$ убывает, то достаточно выполнения $\Phi(\tau_1) < 0$:

$$\Phi(\tau_1) < 0 \iff \tilde{\psi}_1 \frac{\tilde{v} + l}{\tilde{m}} - \tilde{\psi}_2 < 0.$$

Отметим, что как только по мере полёта ракеты $\Phi(t) < 0$, то $\Phi(t) < 0$ и $u^*(t) = 0$ вплоть до конца полёта. Т.е. дальнейшие переключения невозможны.

Пусть $\tau_1 = 0$. Тогда аналитически имеем, что ракета летит вниз на самом старте. Такой случай не удовлетворяет постановке задачи, аналитически он заведомо не оптимальный (пользуемся физическими соображениями: в самом начале высота ракеты становится меньше нуля, потребуется больше топлива, чтобы вернуть её в исходное положение).

Пусть $\tau_2 = T, v(T) = 0$. Если $m(T) > M$, то из Утверждения 2 имеем дополнительные ограничения

$$\tilde{v} = g(T - \tau_1), \quad \tilde{\psi}_2 = 0, \quad \tilde{\psi}_1 + \psi_0(T - \tau_1) \neq 0. \quad (16)$$

и, если $m(T) = \tilde{m} = M$, то $\tilde{\psi}_1, \tilde{\psi}_2$ — одновременно не равны нулю и $\tilde{v} = g(T - \tau_1)$.

Таким образом, чтобы оптимальная траектория завершилась в данном режиме, необходимо достичь указанные значения $\tau_1, \tilde{v}, \tilde{\psi}_2$ или \tilde{v}, \tilde{m} до переключения в режим отсутствия влияния в момент времени τ_1 .

4.2.2 Особый режим, $\Phi(t) = 0$

Рассмотрим особый режим на отрезке времени $[\tau_1, \tau_2] \subset [0, T]$:

$$\Phi(t) \equiv 0, \quad u^*(t) \in [0, u_{\max}]. \quad (17)$$

Продифференцируем $\Phi(t)$ и подставим (11), (14):

$$\begin{aligned} \dot{\Phi} &= \dot{\psi}_1 \frac{v+l}{m} + \psi_1 \frac{\dot{v}m - \dot{m}(v+l)}{m^2} - \dot{\psi}_2 = \\ &= \left(\psi_0 - \frac{u\psi_1}{m} \right) \frac{v+l}{m} + \psi_1 \frac{2u(v+l) - mg}{m^2} - \frac{u\psi_1(v+l)}{m^2} = \\ &= \psi_0 \frac{v+l}{m} - \underbrace{\frac{u\psi_1(v+l)}{m^2} + \frac{2u\psi_1(v+l)}{m^2} - \frac{u\psi_1(v+l)}{m^2}}_{=0} - \frac{g\psi_1}{m} = \\ &= \psi_0 \frac{v+l}{m} - \frac{g\psi_1}{m} \equiv 0 \xrightarrow{m \geq M > 0} \psi_1(t) = \frac{\psi_0}{g}(v(t) + l). \end{aligned} \quad (18)$$

Таким образом, получили явное значение сопряженной переменной $\psi_1(t)$.

Рассмотрим аномальный случай ($\psi_0 \equiv 0$). Тогда согласно (18): $\psi_1(t) \equiv 0$. Подставим в (17), получим $\psi_2(t) \equiv 0$. Значит, $\bar{\psi}(t) = 0$ при $t \in [\tau_1, \tau_2]$, что противоречит принципу максимума.

Таким образом, если оптимальное управление находилось в особом режиме на некотором отрезке времени, то $\psi_0 < 0$. Далее рассмотрим только такие значения ψ_0 .

Приравняем производные $\psi_1(t)$ из (18) и (14).

$$\dot{\psi}_1 \stackrel{(18)}{=} \frac{\psi_0}{g} \dot{v} \stackrel{(11)}{=} \frac{\psi_0}{g} \left(\frac{u}{m}(v+l) - g \right) = \frac{\psi_0 u}{mg}(v+l) - \psi_0 \stackrel{(14)}{=} \dot{\psi}_0 - \frac{u\psi_1}{m}.$$

Сделаем замену (18) = ψ_1 .

$$\frac{u\psi_1}{m} - \psi_0 = \psi_0 - \frac{u\psi_1}{m} \cdot \xrightarrow{\text{если } \psi_1 \neq 0} u(t) = \frac{\psi_0 m(t)}{\psi_1(t)}. \quad (19)$$

Получили явное выражение для управления $u(t)$ в особом режиме. Отметим, что нужно следить за условиями $u(t) \in [0, u_{\max}]$, $\psi_1(t) \neq 0$ (что равносильно $v(t) \neq -l$).

Допустим $\psi_1(t) \neq 0$ при $t \in [\tau_1, \tau_2]$ и $u(t) \in (0, u_{\max})$ при $t \in (\tau_1, \tau_2)$. Тогда (11), (14) принимают вид

$$\left\{ \begin{array}{l} \dot{v} = \frac{\psi_0}{\psi_1}(v+l) - g \stackrel{(18)}{=} g - g = 0, \\ \dot{m} = -\frac{\psi_0 m}{\psi_1}, \\ \dot{\psi}_1 = \psi_0 - \frac{\psi_0 m}{\psi_1} \cdot \frac{\psi_1}{m} = \psi_0 - \psi_0 = 0, \\ \dot{\psi}_2 = \frac{\psi_0 m}{\psi_1 m^2} \cdot \frac{g\psi_1}{\psi_0} \cdot \psi_1 = \frac{g\psi_1}{m}. \end{array} \right. \iff \left\{ \begin{array}{l} v \equiv \tilde{v}, \\ m(t) = \tilde{m} \exp\left\{-\frac{\psi_0}{\tilde{\psi}_1}(t - \tau_1)\right\}, \\ \psi_1 \equiv \tilde{\psi}_1, \\ \psi_2 = \frac{g\tilde{\psi}_1^2}{\tilde{m}\psi_0} \exp\left\{\frac{\psi_0}{\tilde{\psi}_1}(t - \tau_1)\right\} + \tilde{\psi}_2 - \frac{g\tilde{\psi}_1^2}{\tilde{m}\psi_0}. \end{array} \right. \quad (20)$$

Из условий $u(t) > 0, \psi_0 < 0$ следует, что $\psi_1 = \tilde{\psi}_1 < 0$. Следовательно $m(t)$ монотонно убывает и $\tilde{v} > -l$. В какой-то момент времени топливо заканчивается:

$$m(t^*) = M. \iff -\frac{\psi_0}{\tilde{\psi}_1}(t^* - \tau_1) = \ln \frac{M}{\tilde{m}}. \iff t^* = \tau_1 + \frac{\tilde{\psi}_1}{\psi_0} \ln \frac{\tilde{m}}{M}. \quad (21)$$

Таким образом, при указанных допущениях в особом режиме ракета движется прямолинейно без ускорения с скоростью $\tilde{v} > -l$, пока хватает топлива.

При каких ограничениях на \tilde{v}, \tilde{m} выполняется условие $\Phi(t) = 0, \forall t \in [\tau_1, \tau_2]$? Учтём $\psi_1 \equiv \tilde{\psi}_1, v \equiv \tilde{v}$ и воспользуемся представлением для $\psi_2(t)$:

$$\begin{aligned} \psi_2(t) &= \frac{g\tilde{\psi}_1^2}{\psi_0 m(t)} + \tilde{\psi}_2 - \frac{g\tilde{\psi}_1^2}{\tilde{m}\psi_0}. \\ \Phi(t) &= \tilde{\psi}_1 \frac{\tilde{v} + l}{m(t)} - \psi_2(t) \equiv 0. \iff \{\text{привели к общему знаменателю}\} \iff \\ &\iff \left\{ \begin{array}{l} \tilde{\psi}_1(\tilde{v} + l) - \frac{g\tilde{\psi}_1^2}{\psi_0} = 0, \\ \tilde{\psi}_2 - \frac{g\tilde{\psi}_1^2}{\tilde{m}\psi_0} = 0. \end{array} \right. \iff \left\{ \begin{array}{l} \tilde{v} = -l + \frac{g\tilde{\psi}_1}{\psi_0}, \\ \tilde{m} = \frac{g\tilde{\psi}_1^2}{\psi_0 \tilde{\psi}_2}. \end{array} \right. \quad (22) \end{aligned}$$

Таким образом, получили условия для переключения в особый режим. Заметим, что выражение для \tilde{v} удовлетворяет (18).

Проверим условие $u(t) \in (0, u_{\max})$, согласно (19) и (22):

$$u(t) = \frac{\psi_0 m(t)}{\tilde{\psi}_1} \leq \frac{\psi_0 \tilde{m}}{\tilde{\psi}_1} = \frac{g \tilde{\psi}_1}{\tilde{\psi}_2} < u_{\max}.$$

Получили дополнительные ограничения на $\tilde{\psi}_1, \tilde{\psi}_2$.

Пусть $\tau_1 = 0$. Тогда $\tilde{v} = 0$, топливо тратится только на преодоление силы тяжести, ракета не отрывается от поверхности земли. В нашей постановке данный случай эквивалентен покою ракеты в начальном положении. Вынесем его из рассмотрения, достаточно рассмотреть ту же задачу с меньшим фиксированным конечным временем так, что в начальный момент времени ракета начинает взлетать.

Пусть $\tau_2 = T$ и $m(T) > M$. Тогда в силу условия $\tilde{v} = v(T) = 0$, т.е. необходимо достичь положение покоя (на некоторой высоте) до переключения в особый режим. Причём в силу условий трансверсальности из Утверждения 2 $\tilde{\psi}_1 \neq 0$, $\psi_2(T) = 0$ и (17), (18), (19) имеем

$$\begin{aligned} \tilde{\psi}_1 &= \frac{\psi_0 l}{g} \neq 0, \quad u(t) = \frac{gm(t)}{l} \stackrel{(10)}{<} u_{\max}, \\ \psi_2(T) &\stackrel{(17)}{=} \tilde{\psi}_1 \frac{l}{m(T)} = 0. \Rightarrow \tilde{\psi}_1 = 0. \end{aligned}$$

Получили противоречие с условием трансверсальности: $\tilde{\psi}_1 = \psi_1(T) \neq 0$. Значит, если $m(T) > M$, не можем закончить полёт ракеты, находясь в особом режиме, потребуется дополнительное переключение из особого режима.

Отметим, что при допустимых условиях (22) функция $\Phi(t) \equiv 0$ на $[\tau_1, \tau_2]$. Пока имеется топливо ($m(t) > M$), знак $\Phi(t)$ не меняется.

Переключение в режим ОВ в момент τ_2 возможно. Положим $\tilde{v} = g(T - \tau_1)$ и $\Phi(\tau_2 + 0) \leq 0$ (согласно прошлому пункту протягиваем траекторию для переключения в режим ОВ). Если $m(T) > M$, то дополнительно нужно учесть $\psi_2(\tau_2) = 0$. Если $m(T) = M$ (значит, $m(\tau_2) = M$), то дополнительных условий нет. Полученные условия позволяют численно решить задачу №1.

Возможно ли движение МУ-ОР? Предположим, что такое возможно. Тогда, как известно, в особом режиме скорость ракеты остаётся постоянной, в момент переключения скорость строго положительна, условие $v(T) = 0$ не будет выполнено. Также переключение в режим МУ невозможно.

Таким образом, необходимо совершить переключение в режим отсутствия влияния и только в него.

4.2.3 Максимальное ускорение, $\Phi(t) > 0$

Рассмотрим $\Phi(t) > 0$, $u^*(t) = u_{\max}$ на $[\tau_1, \tau_2]$. Тогда (11), (14) имеют вид:

$$\begin{cases} \dot{v} = \frac{u_{\max}}{m}(v + l) - g, \\ \dot{m} = -u_{\max}, \\ \dot{\psi}_1 = \psi_0 - \frac{u_{\max} \psi_1}{m}, \\ \dot{\psi}_2 = \frac{u_{\max}(v + l) \psi_1}{m^2}. \end{cases} \quad (23)$$

Следовательно, масса $m(t) = \tilde{m} - u_{\max}(t - \tau_1)$. Максимальное время $t^* \in [\tau_1, \tau_2]$, которое можем проработать в данном режиме вычисляется из условий

$$\Phi = \psi_1 \frac{v + l}{m} - \psi_2 > 0, \quad m(t) \geq M.$$

Вычислим скорость $v(t)$. Для начала решим линейное однородное ОДУ

$$\dot{v} = \frac{u_{\max}}{m} v. \Rightarrow \frac{dv}{v} = \frac{u_{\max}}{m} = -\frac{dm}{m}. \Rightarrow v(t) = \frac{A}{m(t)}.$$

Воспользуемся методом вариации постоянного $A \mapsto A(t)$:

$$\begin{aligned} \dot{v} &= \frac{\dot{A}m + u_{\max}A}{m^2} = \frac{u_{\max}}{m} \left(\frac{A}{m} + l \right) - g. \Rightarrow \frac{\dot{A}}{m} = \frac{u_{\max}l}{m} - g. \Rightarrow \\ &\Rightarrow \dot{A}(t) = gu_{\max}(t - \tau_1) + u_{\max}l - g\tilde{m}. \Rightarrow \\ &\Rightarrow A(t) = \frac{gu_{\max}}{2}(t - \tau_1)^2 + (u_{\max}l - g\tilde{m})(t - \tau_1) + \tilde{A}. \\ v(\tau_1) &= \tilde{v} = \frac{\tilde{A}}{\tilde{m}}. \Rightarrow \tilde{A} = \tilde{v}\tilde{m}. \end{aligned}$$

Откуда делением в столбик получим

$$v(t) = \frac{A(t)}{m(t)} = -\frac{g}{2}(t - \tau_1) + \frac{g\tilde{m}}{2u_{\max}} - l + \frac{(\tilde{v} + l)\tilde{m} - \frac{g\tilde{m}^2}{2u_{\max}}}{\tilde{m} - u_{\max}(t - \tau_1)}. \quad (24)$$

Вычислим $\psi_1(t)$. Для начала решим линейное однородное ОДУ

$$\dot{\psi}_1 = -\frac{u_{\max}\psi_1}{m}. \Rightarrow \frac{d\psi_1}{\psi_1} = \frac{-u_{\max}dt}{m} = \frac{dm}{m}. \Rightarrow \psi_1(t) = C \cdot m(t).$$

Воспользуемся методом вариации постоянного $C \mapsto C(t)$:

$$\begin{aligned} \dot{\psi}_1 &= \dot{C}m - u_{\max}C = \psi_0 - \frac{u_{\max}Cm}{m}. \Rightarrow \dot{C} = \frac{\psi_0}{m}. \Rightarrow C(t) = -\frac{\psi_0}{u_{\max}} \ln m(t) + \tilde{C}. \\ \psi_1(\tau_1) &= \tilde{\psi}_1 = -\frac{\psi_0}{u_{\max}} \tilde{m} \ln \tilde{m} + \tilde{C}\tilde{m}. \Rightarrow \tilde{C} = \frac{\tilde{\psi}_1}{\tilde{m}} + \frac{\psi_0}{u_{\max}} \ln \tilde{m}. \end{aligned}$$

Откуда

$$\psi_1(t) = -\frac{\psi_0}{u_{\max}} m(t) \ln m(t) + \left(\frac{\tilde{\psi}_1}{\tilde{m}} + \frac{\psi_0}{u_{\max}} \ln \tilde{m} \right) m(t) = m(t) \left(-\frac{\psi_0}{u_{\max}} \ln m(t) + \tilde{C} \right). \quad (25)$$

Осталось вычислить $\psi_2(t)$. Согласно (23) данная сопряженная переменная является решением ОДУ

$$\begin{aligned} \dot{\psi}_2(t) &= \frac{u_{\max}}{m^2(t)} \left(\frac{A(t)}{m(t)} + l \right) \cdot C(t)m(t) = u_{\max} \frac{C(t)}{m(t)} \left(\frac{A(t)}{m(t)} + l \right) = \\ &= u_{\max} \left(-\frac{\psi_0}{u_{\max}} \cdot \frac{\ln m(t)}{m(t)} + \frac{\tilde{C}}{m(t)} \right) \cdot \left(-\frac{g}{2}(t - \tau_1) + B + \frac{D}{m(t)} \right), \end{aligned}$$

где константы B, D, \tilde{C} равны

$$\begin{aligned} B &= \frac{g\tilde{m}}{2u_{\max}}, \\ D &= (\tilde{v} + l)\tilde{m} - \frac{g\tilde{m}^2}{2u_{\max}}, \\ \tilde{C} &= \frac{\tilde{\psi}_1}{\tilde{m}} + \frac{\psi_0}{u_{\max}} \ln \tilde{m}. \end{aligned}$$

Таким образом, ОДУ для $\psi_2(t)$ имеет вид

$$\begin{aligned} \dot{\psi}_2(t) &= \frac{\psi_0 g}{2} \cdot \frac{(t - \tau_1) \ln m(t)}{m(t)} - \psi_0 B \frac{\ln m(t)}{m(t)} - \psi_0 D \frac{\ln m(t)}{m^2(t)} - \\ &\quad - \frac{u_{\max} \tilde{C} g}{2} \cdot \frac{t - \tau_1}{m(t)} + \frac{u_{\max} \tilde{C} B}{m(t)} + \frac{u_{\max} \tilde{C} D}{m^2(t)}. \end{aligned}$$

Вычислим $\psi_2(t)$.

$$\begin{aligned} &\frac{\psi_0 g}{2} \int \frac{(t - \tau_1) \ln m(t)}{m(t)} dt = \frac{\psi_0 g}{2} \int \frac{(\frac{m(t) - \tilde{m}}{-u_{\max}}) \ln m(t)}{m(t)} \cdot \frac{dm(t)}{-u_{\max}} = \\ &= \frac{\psi_0 g}{2u_{\max}^2} \left(\int \ln m dm - \tilde{m} \int \frac{\ln m}{m} dm \right) = \frac{\psi_0 g}{2u_{\max}^2} \left(m(t) \ln m(t) - m(t) - \frac{\tilde{m}}{2} \ln^2 m(t) \right) + C_1. \\ &-\psi_0 B \int \frac{\ln m(t)}{m(t)} dt = \frac{\psi_0 B}{u_{\max}} \int \frac{\ln m}{m} dm = \frac{\psi_0 B}{2u_{\max}} \ln^2 m(t) + C_2. \\ &-\psi_0 D \int \frac{\ln m(t)}{m^2(t)} dt = \frac{\psi_0 D}{u_{\max}} \int \frac{\ln m}{m^2} dm = -\frac{\psi_0 D}{u_{\max}} \left(\frac{\ln m(t)}{m(t)} + \frac{1}{m(t)} \right) + C_3. \\ &-\frac{u_{\max} \tilde{C} g}{2} \int \frac{t - \tau_1}{m(t)} dt = \frac{\tilde{C} g}{2} \int \frac{\frac{m(t) - \tilde{m}}{-u_{\max}}}{m(t)} dm = -\frac{\tilde{C} g}{2u_{\max}} \left(m(t) - \tilde{m} \ln m(t) \right) + C_4. \\ &\int \frac{u_{\max} \tilde{C} B}{m(t)} dt = -\tilde{C} B \ln m(t) + C_5. \\ &\int \frac{u_{\max} \tilde{C} D}{m^2(t)} dt = \frac{\tilde{C} D}{m(t)} + C_6. \end{aligned}$$

Обозначим $C_0 = \sum_{k=1}^6 C_k$. Тогда

$$\begin{aligned} \psi_2(t) &= \frac{\psi_0 g}{2u_{\max}^2} m(t) \ln m(t) - \left(\frac{\psi_0 g}{2u_{\max}^2} + \frac{\tilde{C} g}{2u_{\max}} \right) m(t) + \underbrace{\left(\frac{\psi_0 B}{2u_{\max}} - \frac{\psi_0 g \tilde{m}}{4u_{\max}^2} \right) \ln^2 m(t)}_{=0} - \\ &\quad - \frac{\psi_0 D}{u_{\max}} \cdot \frac{\ln m(t)}{m(t)} + \left(\tilde{C} D - \frac{\psi_0 D}{u_{\max}} \right) \frac{1}{m(t)} + \underbrace{\left(\frac{\tilde{C} g \tilde{m}}{2u_{\max}} - \tilde{C} B \right) \ln m(t)}_{=0} + C_0 = \\ &= \frac{\psi_0 g}{2u_{\max}^2} m(t) \ln m(t) - \left(\frac{\psi_0 g}{2u_{\max}^2} + \frac{\tilde{C} g}{2u_{\max}} \right) m(t) - \frac{\psi_0 D}{u_{\max}} \cdot \frac{\ln m(t)}{m(t)} + \left(\tilde{C} D - \frac{\psi_0 D}{u_{\max}} \right) \frac{1}{m(t)} + C_0. \end{aligned}$$

Причем C_0 удовлетворяет

$$\psi_2(\tau_1) = \tilde{\psi}_2, \quad m(\tau_1) = \tilde{m}.$$

$$C_0 = \tilde{\psi}_2 - \frac{\psi_0 g}{2u_{\max}^2} \tilde{m} \ln \tilde{m} + \left(\frac{\psi_0 g}{2u_{\max}^2} + \frac{\tilde{C}g}{2u_{\max}} \right) \tilde{m} + \frac{\psi_0 D}{u_{\max}} \cdot \frac{\ln \tilde{m}}{\tilde{m}} - \left(\tilde{C}D - \frac{\psi_0 D}{u_{\max}} \right) \frac{1}{\tilde{m}}.$$

Окончательно, получим $\psi_2(t)$.

$$\begin{aligned} \psi_2(t) = \tilde{\psi}_2 - \frac{\psi_0 g}{2u_{\max}^2} \left(\tilde{m} \ln \tilde{m} - m(t) \ln m(t) \right) + \left(\frac{\psi_0 g}{2u_{\max}^2} + \frac{\tilde{C}g}{2u_{\max}} \right) (\tilde{m} - m(t)) + \\ + \frac{\psi_0 D}{u_{\max}} \left(\frac{\ln \tilde{m}}{\tilde{m}} - \frac{\ln m(t)}{m(t)} \right) + \left(\tilde{C}D - \frac{\psi_0 D}{u_{\max}} \right) \left(\frac{1}{m(t)} - \frac{1}{\tilde{m}} \right). \end{aligned} \quad (26)$$

Таким образом, уравнения (24), (25), (26) задают траектории систем (11), (14) при $u(t) \equiv u_{\max}$ в зависимости от $m(t) = \tilde{m} - u_{\max}(t - \tau_1)$ на отрезке времени $[\tau_1, \tau_2]$.

Пусть $[\tau_1, \tau_2] = [0, T]$. Допустим, что у ракеты достаточно топлива, чтобы обеспечить режим максимального ускорения на протяжении всего полета. Получим противоречие с конечным условием $v(T) = 0$, ведь скорость ракеты постоянно возрастает. Таким образом, ракета не может закончить полёт в данном режиме, необходимо совершить переключение.

Если топливо ракеты кончится ($\exists t^* : m(t^*) = M$), то в момент времени t^* происходит переключение в режим отсутствия влияния.

Также если начальные условия таковы, что

$$\exists [\tau_1^*, \tau_2^*] : \Phi(t) = 0, \quad \forall t \in [\tau_1^*, \tau_2^*]$$

то при данном τ_1^* происходит переключение в особый режим, из которого, как было показано ранее, нужно переключиться в режим отсутствия влияния.

Пусть $\tau_1 = 0$. Найдём ограничения на ψ_1^0, ψ_2^0 . Требуем

$$\Phi(0) > 0. \iff \psi_1^0 \frac{l}{m_0} - \psi_2^0 > 0. \quad (27)$$

При указанных ограничениях имеем возможность управлять ракетой в режиме максимального ускорения вплоть до смены знака функции $\Phi(t)$.

4.3 Теорема о переключениях

Обладаем достаточной информацией для формулировки следующей теоремы.

Теорема 2 (о переключениях). Пусть $v^*(t), m^*(t), u^*(t)$ — оптимальные значения скорости, массы, управления, удовлетворяющие (11), при которых достигается минимум функционала

$$J = \int_0^T (-v(t)) dt.$$

Тогда максимальное число переключений $u^*(t)$ равно двум, причем оптимальное управление обладает одним из следующих свойств:

1. $u^*(t)$ имеет единственное переключение τ , $u(t) = u_{\max}$ при $[0, \tau]$ и $u(t) = 0$ при $[\tau, T]$;

2. $u^*(t)$ имеет два переключения τ_1 и τ_2 , $u(t) = u_{\max}$ при $[0, \tau_1]$, $u(t)$ удовлетворяет (19) при $[\tau_1, \tau_2]$, $u(t) = 0$ при $[\tau_2, T]$.

Таким образом, движение ракеты происходит в режимах МУ-ОВ или МУ-ОР-ОВ.

Обозначим движение согласно первому свойству Случай №1, согласно второму свойству — Случай №2.

Получим явное представление для ограничений на начальные и конечные значения вектора сопряженных переменных для реализации численного решения задачи №1, пользуясь доказанными фактами.

4.4 Случай №1

Рассмотрим $u(t)$ вида

$$u(t) = \begin{cases} u_{\max}, & [0, \tau), \\ 0, & [\tau, T]. \end{cases}$$

где τ — время переключения из режима максимального ускорения в режим отсутствия влияния.

4.4.1 Анормальный случай, $\psi_0 = 0$

Рассмотрим $t \in [0, \tau]$ и $\psi_0 = 0$. Имеем следующую систему ОДУ

$$\begin{cases} \dot{v} = \frac{u_{\max}}{m}(v + l) - g, & v(0) = 0, \\ \dot{m} = -u_{\max}, & m(0) = m_0, \\ \dot{\psi}_1 = -\frac{u_{\max}\psi_1}{m}, & \psi_1(0) = \psi_1^0, \\ \dot{\psi}_2 = \frac{u_{\max}(v + l)\psi_1}{m^2}, & \psi_2(0) = \psi_2^0. \end{cases}$$

Согласно (24), (25), (26) при $\tilde{v} = 0, \tilde{m} = m_0, \tilde{\psi}_1 = \psi_1^0, \tilde{\psi}_2 = \psi_2^0, \tau_1 = 0, \tau_2 = \tau$ решением данной системы является

$$\begin{cases} v(t) = -\frac{g}{2}t + B - l + \frac{D}{m(t)}, \\ m(t) = m_0 - u_{\max}t, \\ \psi_1(t) = \frac{\psi_1^0}{m_0}m(t). \\ \psi_2(t) = \psi_2^0 + \frac{\tilde{C}g}{2}t + \tilde{C}D\left(\frac{1}{m(t)} - \frac{1}{m_0}\right). \end{cases} \quad (28)$$

где константы B, D, \tilde{C} равны

$$\begin{aligned} B &= \frac{gm_0}{2u_{\max}}, \\ D &= lm_0 - \frac{gm_0^2}{2u_{\max}}, \\ \tilde{C} &= \frac{\psi_1^0}{m_0}. \end{aligned}$$

Рассмотрим $t \in [\tau, T]$ и потребуем $m(T) > M$. Движение ракеты описывается системой (15). Дополнительные ограничения на ψ_1^0, ψ_2^0 согласно *Утверждению 2* вытекают из того, что $\Phi(t)$ — непрерывная функция (как композиция непрерывных):

$$\Phi(\tau) = 0 \iff \underbrace{\psi_1(\tau) \frac{v(\tau) + l}{m(\tau)}}_{>0} - \underbrace{\psi_2(\tau)}_{=0} = 0. \implies \psi_1(\tau) = 0. \quad (29)$$

Получили противоречие с условием (16). Оптимальная траектория не удовлетворяет требованию на массу $m(T) > M$ в данном случае.

Рассмотрим $t \in [\tau, T]$ и потребуем $m(\tau) = m(T) = M$ (сжигаем всё топливо), $v(\tau) = g(T - \tau)$, $\Phi(\tau) = 0$:

$$\begin{aligned} \tau &= \frac{m_0 - M}{u_{\max}}. \quad v(\tau) = g(T - \tau) = -\frac{g}{2}\tau + B - l + \frac{D}{M}. \\ \psi_1(\tau) \frac{g(T - \tau) + l}{M} &= \psi_2(\tau). \end{aligned} \quad (30)$$

Мы могли бы вычислить ψ_1^0, ψ_2^0 и проинтегрировать сопряженную систему, однако условия трансверсальности говорят, что $\psi_1(T)$ и $\psi_2(T)$ лишь одновременно равны нулю. Перебор здесь необязателен: можем вычислить T при котором выполняется условие $v(T) = 0$, а затем учесть полученную траекторию при отборе на оптимальную.

К тому же, высота ракеты в конечный момент времени составит

$$\begin{aligned} H &= \int_0^\tau v(t)dt + \int_\tau^T (g(T - \tau) - g(t - \tau))dt = \\ &= -\frac{g}{4}\tau^2 + (B - l)\tau + \frac{D}{u_{\max}} \ln \frac{m_0}{M} + \frac{g(T - \tau)^2}{2}. \end{aligned} \quad (31)$$

Таким образом, при определенном параметре T и фиксированных остальных параметрах аномальный режим в Случае №1 возможен.

4.4.2 Нормальный случай, $\psi_0 = -1$

Рассмотрим $t \in [0, \tau]$ и $\psi_0 = -1$. Имеем следующую систему ОДУ

$$\begin{cases} \dot{v} = \frac{u_{\max}}{m}(v + l) - g, & v(0) = 0, \\ \dot{m} = -u_{\max}, & m(0) = m_0, \\ \dot{\psi}_1 = -1 - \frac{u_{\max}\psi_1}{m}, & \psi_1(0) = \psi_1^0, \\ \dot{\psi}_2 = \frac{u_{\max}(v + l)\psi_1}{m^2}, & \psi_2(0) = \psi_2^0. \end{cases}$$

Согласно (24), (25), (26) при $\tilde{v} = 0, \tilde{m} = m_0, \tilde{\psi}_1 = \psi_1^0, \tilde{\psi}_2 = \psi_2^0, \tau_1 = 0, \tau_2 = \tau$ решением

данной системы является

$$\begin{cases} v(t) = -\frac{g}{2}t + B - l + \frac{D}{m(t)}, \\ m(t) = m_0 - u_{\max}t, \\ \psi_1(t) = m(t) \left(\frac{\ln m(t)}{u_{\max}} + \tilde{C} \right), \\ \psi_2(t) = \psi_2^0 + \frac{g}{2u_{\max}^2} (m_0 \ln m_0 - m(t) \ln m(t)) + \left(\frac{\tilde{C}g}{2u_{\max}} - \frac{g}{2u_{\max}^2} \right) \overbrace{(m_0 - m(t))}^{u_{\max}t} - \\ - \frac{D}{u_{\max}} \left(\frac{\ln m_0}{m_0} - \frac{\ln m(t)}{m(t)} \right) + \left(\tilde{C}D + \frac{D}{u_{\max}} \right) \left(\frac{1}{m(t)} - \frac{1}{m_0} \right). \end{cases} \quad (32)$$

где константы B, D, \tilde{C} равны

$$\begin{aligned} B &= \frac{gm_0}{2u_{\max}}, \\ D &= lm_0 - \frac{gm_0^2}{2u_{\max}}, \\ \tilde{C} &= \frac{\psi_1^0}{m_0} - \frac{\ln m_0}{u_{\max}}. \end{aligned}$$

Потребуем $m(T) = m(\tau) > M$. Аналогично прошлому пункту, ссылаясь на условие (16), получим:

$$v(\tau) = g(T - \tau) \Leftrightarrow \tau = T - \frac{v(\tau)}{g}, \quad \psi_1(\tau) - (T - \tau) \neq 0, \quad \psi_2(\tau) = 0.$$

Дополнительные ограничения на ψ_1^0 вытекают из непрерывности $\Phi(t)$:

$$\begin{aligned} \Phi(\tau) = 0 &\Leftrightarrow \underbrace{\psi_1(\tau) \frac{v(\tau) + l}{m(\tau)}}_{>0} - \underbrace{\psi_2(\tau)}_{=0} = 0. \Rightarrow \psi_1(\tau) = 0. \Leftrightarrow \\ &\Leftrightarrow \frac{\ln m(\tau)}{u_{\max}} = -\tilde{C} = \frac{\ln m_0}{u_{\max}} - \frac{\psi_1^0}{m_0}. \Leftrightarrow \boxed{\psi_1^0 = \frac{m_0}{u_{\max}} \ln \frac{m_0}{m(\tau)}}. \end{aligned} \quad (33)$$

Таким образом, точно определили начальное значение ψ_1^0 в зависимости от момента переключения τ . По сравнению с аномальным случаем не получаем противоречие с принципом максимума в силу $\psi_0 = -1$.

Зная ψ_1^0 , можем однозначно выразить значение ψ_2^0 в зависимости от момента переключения τ из условия $\psi_2(\tau) = 0$:

$$\begin{aligned} \psi_2^0 &= -\frac{g}{2u_{\max}^2} (m_0 \ln m_0 - m(\tau) \ln m(\tau)) - \left(\frac{\tilde{C}g}{2u_{\max}} - \frac{g}{2u_{\max}^2} \right) u_{\max}\tau + \\ &+ \frac{D}{u_{\max}} \left(\frac{\ln m_0}{m_0} - \frac{\ln m(\tau)}{m(\tau)} \right) - \left(\tilde{C}D + \frac{D}{u_{\max}} \right) \left(\frac{1}{m(\tau)} - \frac{1}{m_0} \right). \end{aligned} \quad (34)$$

Потребуем $m(T) = M$. Тогда время переключения однозначно определено: $\tau = (m_0 - M)/u_{\max}$ (необходимо потратить всё топливо).

Закончили исследование Случая №1.

4.5 Случай №2

Рассмотрим $u(t)$ вида

$$u(t) = \begin{cases} u_{\max}, & t \in [0, \tau_1), \\ [0, u_{\max}], & t \in [\tau_1, \tau_2), \\ 0, & t \in [\tau_2, T]. \end{cases}$$

где τ_1 — момент времени переключения из режима максимального ускорения в особый режим, τ_2 — момент времени переключения из особого режима в режим отсутствия влияния.

Как было доказано ранее, если управление в течение полёта ракеты находилось в особом режиме, то $\psi_0 < 0$. Достаточно рассмотреть нормальный случай ($\psi_0 = -1$). Далее фиксируем $\psi_0 = -1$.

Рассмотрим $t \in [0, \tau_1]$. Аналогично Случаю №1 при $\psi_0 = -1$ получаем явный вид траекторий (32).

Рассмотрим $t \in [\tau_1, \tau_2]$. Уравнения (18), (19), (20) задают управление и траектории в особом режиме. Перепишем их в удобном виде.

$$\begin{cases} v(t) = v(\tau_1), \\ m(t) = m(\tau_1) \exp\left\{\frac{1}{\psi_1(\tau_1)}(t - \tau_1)\right\}, \\ \psi_1(t) = -\frac{1}{g}(v(\tau_1) + l) \equiv \psi_1(\tau_1) = \text{const}, \\ \psi_2(t) = -\frac{g\psi_1^2(\tau_1)}{m(\tau_1)} \exp\left\{-\frac{1}{\psi_1(\tau_1)}(t - \tau_1)\right\} + \psi_2(\tau_1) + \frac{g\psi_1^2(\tau_1)}{m(\tau_1)}, \\ u(t) = \frac{m(t)}{-\psi_1(\tau_1)}. \end{cases}$$

где значения $v(\tau_1), m(\tau_1), \psi_1(\tau_1), \psi_2(\tau_1)$ соответствуют значениям траекторий (32) в момент времени τ_1 .

Воспользуемся условиями (22) для переключения в особый режим:

$$\begin{cases} v(\tau_1) = -l - g\psi_1(\tau_1), \\ m(\tau_1) = -g \frac{\psi_1^2(\tau_1)}{\psi_2(\tau_1)}. \end{cases}$$

Из первого уравнения данной системы получим

$$\begin{aligned} \psi_1(\tau_1) &= -\frac{v(\tau_1) + l}{g}. \\ \frac{\ln m(\tau_1)}{u_{\max}} + \frac{\psi_1^0}{m_0} - \frac{\ln m_0}{u_{\max}} &= -\frac{v(\tau_1) + l}{gm(\tau_1)}. \\ \boxed{\psi_1^0 = \frac{m_0}{u_{\max}} \ln \frac{m_0}{m(\tau_1)} - \frac{m_0}{m(\tau_1)} \frac{v(\tau_1) + l}{g}}. \end{aligned} \tag{35}$$

Нашли зависимость $\psi_1^0(\tau_1)$. Уравнение для $m(\tau_1)$ с учетом $\psi_1^0(\tau_1)$ позволяет найти зависимость $\psi_2^0(\tau_1)$, если подставить следующее значение в (32):

$$\psi_2(\tau_1) = -g \frac{\psi_1^2(\tau_1)}{m(\tau_1)}. \quad (36)$$

Рассмотрим $t \in [\tau_2, T]$. Воспользуемся условием завершения в режиме отсутствия влияния (16) при $m(T) > M$:

$$v(\tau_2) = g(T - \tau_2), \quad \psi_1(\tau_2) - (T - \tau_2) \neq 0, \quad \psi_2(\tau_2) = 0.$$

В особом режиме скорость ракеты $v(t)$ и значение сопряженной переменной $\psi_1(t)$ не меняются:

$$v(\tau_1) \stackrel{(32)}{=} -\frac{g}{2}\tau_1 + B - l + \frac{D}{m(\tau_1)} = v(\tau_2) = g(T - \tau_2), \quad \psi_1(\tau_1) = \psi_1(\tau_2). \quad (37)$$

Распишем $\psi_2(\tau_2) = 0$:

$$0 = \psi_2(\tau_2) = \underbrace{-\frac{g\psi_1^2(\tau_1)}{m(\tau_1)}}_{=\psi_2(\tau_1)} \exp\left\{-\frac{1}{\psi_1(\tau_1)}(\tau_2 - \tau_1)\right\} + \underbrace{\psi_2(\tau_1) + \frac{g\psi_1^2(\tau_1)}{m(\tau_1)}}_{=0}. \implies \quad (38)$$

$$\implies \psi_1(\tau_1) = 0. \implies v(\tau_1) = -l. \quad (39)$$

Получили, что для переключения в особый режим из режима максимального ускорения, необходимо достичь значения $v = -l < 0$, что невозможно по физическим соображениям: реактивная тяга сообщает положительную скорость. Значит, случай $m(T) > M$ можно отбросить.

Рассмотрим случай $m(T) = M$. Учтём условия $v(T) = 0, m(T) = M$ и найдем зависимость время переключения $\tau_2(\tau_1)$ согласно (16).

$$\begin{cases} g(T - \tau_2) = v(\tau_2) = v(\tau_1), \\ M = m(\tau_2) = m(\tau_1) \exp\left\{\frac{1}{\psi_1(\tau_1)}(\tau_2 - \tau_1)\right\}. \end{cases} \implies \begin{cases} \tau_2 = T - \frac{v(\tau_1)}{g}, \\ \tau_2 = \tau_1 - \psi_1(\tau_1) \ln \frac{m(\tau_1)}{M}. \end{cases} \quad (40)$$

где значения $v(\tau_1), m(\tau_1), \psi_1(\tau_1)$ соответствуют значениям траекторий (32) в момент времени τ_1 . Заметим, что $\psi_1(\tau_1) < 0$, значит в (40) выполняется $\tau_2 > \tau_1$.

Дополнительно учтём условия (35), (36) для переключения в особый режим.

Таким образом, τ_1 однозначно определяется из (40). Решая систему (40) численно относительно τ_1 , однозначно получим τ_1 и τ_2 . Никаких переборов делать не нужно.

Закончили исследование Случая №2.

4.6 Алгоритм численного решения задачи

Алгоритм состоит из трёх подалгоритмов, описанных далее. Результатом каждого подалгоритма является не более чем одна траектория. Выбираем среди них ту, на которой достигается наибольшая высота H .

Объединим в Случай №1 варианты при $\psi_0 = 0$ и $\psi_0 = -1$. Мы не будем учитывать сопряженные переменные, ведь управление определяется однозначно по времени переключения, удовлетворяющему условию $v(\tau) = 0$.

4.6.1 Случай №1

1. Найти T_{opt} — наибольшее значение конечного времени, при котором выполняется условие $v(T_{\text{opt}}) = 0$. Это означает, что задача разрешима при $T : T \leq T_{\text{opt}}$.

$$T_{\text{opt}} = \frac{\tau}{2} + \left(\frac{l}{g} - \frac{m_0}{2u_{\text{max}}} \right) \left(\frac{m_0}{M} - 1 \right).$$

2. Если данное T не превосходит T_{opt} , то вычисляем момент переключения τ при помощи **fzero**:

$$-g(T - \tau) - \frac{g\tau}{2} + \left(l - \frac{gm_0}{2u_{\text{max}}} \right) \left(\frac{m_0}{m_0 - u_{\text{max}}\tau} - 1 \right) = 0. \quad (41)$$

Уравнение означает $v(T) = v(\tau) = 0$ (протягиваем траектории в режимах МУ и ОВ до нулевого конечного значения).

Иначе заканчиваем обработку данного случая.

3. Интегрируем систему (11) на $[0, \tau]$ при $u(t) \equiv u_{\text{max}}$, на $[\tau, T]$ при $u(t) \equiv 0$.
4. Вычисляем высоту $H_{\text{ан}}$ ракеты по формуле (31).
5. Вычисляем высоту H_{num} методом трапеций по полученным значениям скорости $v(t)$ при помощи **trapz**.
6. Сравниваем $H_{\text{ан}}$ и H_{num} для получения погрешности вычисления.

Вообще говоря, согласно (29) и (30) данный алгоритм вычисляет траекторию, которая является оптимальной только при некотором значении T . Тем не менее, будем учитывать полученную траекторию при отборе.

4.6.2 Случай №1, нормальный

1. Повторяем первые два пункта алгоритма 4.6.1.
2. Если $\tau < \frac{m_0 - M}{u_{\text{max}}}$, то выполняем дальнейшие шаги, иначе алгоритм останавливается.
3. Вычисляем $m(\tau) = m_0 - u_{\text{max}}\tau$.
4. Вычисляем ψ_1^0, ψ_2^0 по формулам (33), (34) соответственно.
5. Интегрируем (23) на $[0, \tau]$, (15) на $[\tau, T]$.

6. Вычисляем значение высоты методом трапеций по полученным значениям скорости $v(t)$ при помощи `trapz`.
7. Проверяем условия transversальности при $m(T) > M$ согласно *Утверждению 2*.
Случай $m(T) = M$ рассматривается в пункте 4.6.1.

4.6.3 Случай №2

1. Зафиксируем $\psi_0 = -1$. Вычисляем при помощи `fzero` первый момент переключения τ_1 как решение уравнения

$$T - \frac{v(t)}{g} - t - \frac{v(t) + l}{g} \ln \frac{m(t)}{M} = 0, \quad (42)$$

где

$$m(t) = m_0 - u_{\max} t.$$

$$v(t) = -\frac{gt}{2} + \left(l - \frac{gm_0}{2u_{\max}} \right) \left(\frac{m_0}{m(t)} - 1 \right).$$

Все τ_1 , удовлетворяющие (42), доставляют истинность условий (40) и учитывают условия для переключения в особый режим (35), (36).

Функция в левой части (42) имеет асимптоту в точке $t = \frac{m_0}{u_{\max}}$, определена при $t < \frac{m_0}{u_{\max}}$.

2. По найденному значению $\tau_1 < \frac{m_0 - M}{u_{\max}}$ вычисляем значения исходных и сопряженных функций (32) в момент времени τ_1 и используем их для вычисления ψ_2^0 по формуле:

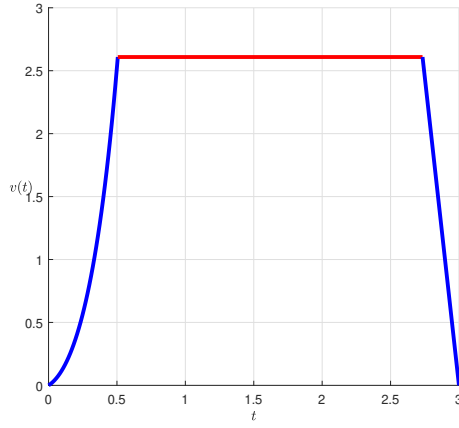
$$\begin{aligned} \psi_2^0 = & -g \frac{\psi_1^2(\tau_1)}{m(\tau_1)} - \frac{g}{2u_{\max}^2} (m_0 \ln m_0 - m(\tau_1) \ln m(\tau_1)) - \left(\frac{\tilde{C}g}{2u_{\max}} - \frac{g}{2u_{\max}^2} \right) u_{\max} \tau_1 + \\ & + \frac{D}{u_{\max}} \left(\frac{\ln m_0}{m_0} - \frac{\ln m(\tau_1)}{m(\tau_1)} \right) - \left(\tilde{C}D + \frac{D}{u_{\max}} \right) \left(\frac{1}{m(\tau_1)} - \frac{1}{m_0} \right). \end{aligned}$$

3. Вычисляем $\tau_2 = \tau_1 - \psi_1(\tau_1) \ln \frac{m(\tau_1)}{M} = T - \frac{v(\tau_1)}{g}$.
4. Интегрируем (23) на $[0, \tau_1]$, (20) на $[\tau_1, \tau_2]$, (15) на $[\tau_2, T]$.
5. Вычисляем значение высоты методом трапеций по полученным значениям скорости $v(t)$ при помощи `trapz`.

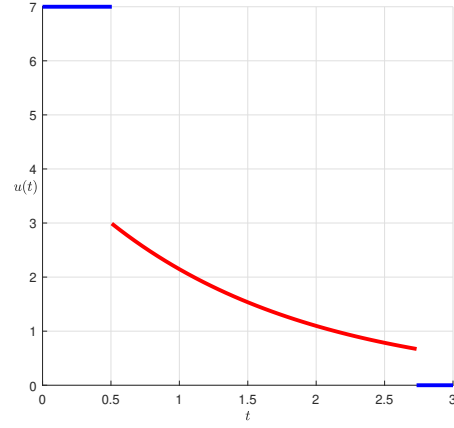
4.7 Примеры работы алгоритма

4.7.1 Пример 1

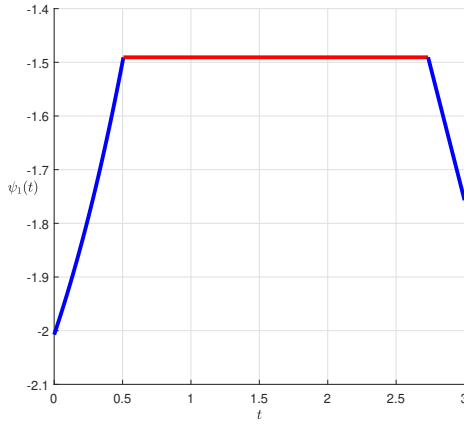
Положим $m_0 = 8, M = 1, u_{\max} = 7, g = 9.8, l = 12, T = 3$.



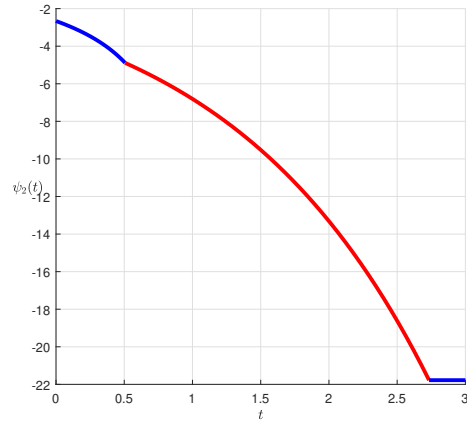
(a) $v(t)$



(b) $u(t)$



(c) $\psi_1(t)$



(d) $\psi_2(t)$

Рис. 1: Результат при $m_0 = 8, M = 1, u_{\max} = 7, g = 9.8, l = 12, T = 3$.

В данном примере оптимальная траектория была найдена в Случае №2. На рисунке 1 изображены оптимальные значения скорости $v(t)$ и управления $u(t)$, вместе с двумя сопряженными переменными $\psi_1(t)$ и $\psi_2(t)$. Здесь времена переключения $\tau_1 = 0.5062, \tau_2 = 2.7338$ и достигнутая высота $H = 6.5703$. Красным выделен особый режим.

4.7.2 Пример 2

Положим $m_0 = 83, M = 5, u_{\max} = 41, g = 9.8, l = 200, T = 10$.

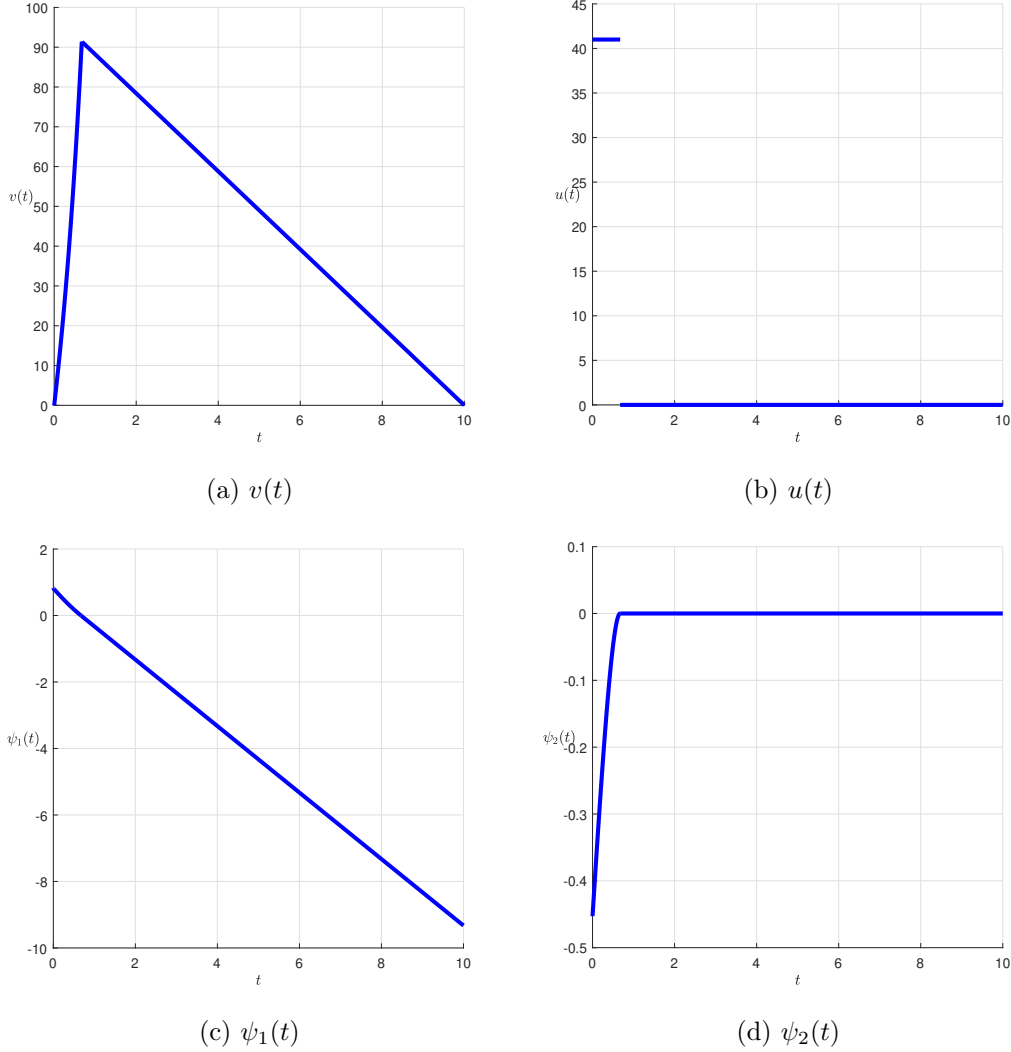


Рис. 2: Результат при $m_0 = 8, M = 1, u_{\max} = 7, g = 9.8, l = 12, T = 3$.

В данном примере оптимальная траектория была найдена в Случае №1. Уравнение (42) не имеет решений. На рисунке 2 изображены оптимальные значения скорости $v(t)$ и управления $u(t)$, вместе с двумя сопряженными переменными $\psi_1(t)$ и $\psi_2(t)$. Здесь наибольшее конечное время $T_{\text{opt}} = 303.5283$, время переключения $\tau = 0.6732$ и достигнутая высота $H = 452.7439$.

5 Решение задачи №2

Требуется перевести ракету на заданную высоту $H > 0$ в заданный момент времени $T > 0$ так, чтобы при этом минимизировать функционал

$$J[u(\cdot)] = \int_0^T (u^2(t) + \alpha u(t)) dt, \quad \alpha > 0.$$

Также задан начальный момент времени $t_0 = 0$, начальная скорость $v(0) = 0$, начальная масса ракеты с топливом $m(0) = m_0 > M$.

Введём новую переменную $h(t)$ — высота ракеты в момент времени t :

$$h(t) = \int_0^t v(t) dt, \quad \dot{h}(t) = v(t), \quad h(0) = 0.$$

Дополним эквивалентную систему, получим:

$$\begin{cases} \dot{v}(t) = \frac{u(t)}{m(t)}(v(t) + l) - g, \\ \dot{m}(t) = -u(t), \\ \dot{h}(t) = v(t), \\ v(0) = 0, \quad m(0) = m_0, \quad h(0) = 0, \quad h(T) = H, \\ J[u(\cdot)] = \int_0^T (u^2(t) + \alpha u(t)) dt \rightarrow \inf_{u(\cdot) \in [0, u_{\max}]}. \end{cases} \quad (43)$$

где $g, l, u_{\max} > 0$, $m_0 > M > 0$, $u(t) \in [0, u_{\max}]$. В дальнейшем будем рассматривать положительные значения высоты $h(t)$.

5.1 Применение принципа максимума Понтрягина

Пусть $\bar{\psi}(t) = (\psi_0(t), \psi_1(t), \psi_2(t), \psi_3(t))^T$ — расширенный вектор сопряженных переменных, где $\psi_0(t)$ отвечает переменной

$$x_0(t) = \int_0^t (u^2(\tau) + \alpha u(\tau)) d\tau, \quad \dot{x}_0(t) = f^0(t) = u^2(t) + \alpha u(t).$$

Вообще говоря, ракета имеет ограниченный запас топлива. Обозначим T_{end} — время сгорания всего запаса топлива. В момент T_{end} динамика системы меняется и соответствует нулевому управлению, и система однозначно интегрируется. Следовательно, траектории системы (43) в момент окончания запасов топлива должны достигнуть высоты

$$h(T_{\text{end}}) = H - v(T_{\text{end}}) \cdot (T - T_{\text{end}}) + \frac{g(T - T_{\text{end}})^2}{2}. \quad (44)$$

Применить принцип максимума Понтрягина на отрезке $[0, T]$, вообще говоря, нельзя, ведь динамика системы меняется в неизвестный момент времени.

Наискорейшее время сгорания топлива равно $\frac{m_0 - M}{u_{\max}}$. Следовательно, $T_{\text{end}} \geq \frac{m_0 - M}{u_{\max}}$. Далее рассмотрим 2 случая.

- $T \geq \frac{m_0 - M}{u_{\max}}$, т.е. полное сгорание возможно. Здесь будем рассматривать принцип максимума Понтрягина на $[0, T_{\text{end}}]$ и протягивать траекторию до момента времени T согласно (44). А именно, T_{end} — фиксировано, $\mathcal{X}_0, \mathcal{X}_1$ — точка и прямая соответственно:

$$\begin{aligned}\mathcal{X}_0 &= \{(0, m_0, 0)\}, \\ \mathcal{X}_1 &= \left\{ \left(x, M, H - x(T - T_{\text{end}}) + \frac{g(T - T_{\text{end}})^2}{2} \right) \in \mathbb{R}^3 \mid x \in \mathbb{R} \right\}.\end{aligned}$$

- $T < \frac{m_0 - M}{u_{\max}}$, т.е. полное сгорание невозможно. Здесь применяем принцип максимума Понтрягина на $[0, T]$. В данном случае

$$\begin{aligned}\mathcal{X}_0 &= \{(0, m_0, 0)\}, \\ \mathcal{X}_1 &= \{(v, m, h) \in \mathbb{R}^3 \mid v \in \mathbb{R}, m \geq M, h = H\}.\end{aligned}$$

Будем реализовывать алгоритм без использования условий трансверсальности (дополнительные проверки не понадобятся).

Применим принцип максимума Понтрягина, дополнительно не обговаривая смену динамики системы. В наших обозначениях $t_0 = 0$, $t_1 = T$, $x^0 = (0, m_0, 0)^T$ — фиксированные, вектор $x^1 \in \mathcal{X}_1$ — свободный. Всюду далее считаем $\bar{\psi}^* = \bar{\psi}$, $v^* = v$, $m^* = m$, $h^* = h$.

Рассмотрим функцию Гамильтона-Понтрягина.

$$\begin{aligned}\bar{\mathcal{H}} = \langle \bar{\psi}, \bar{f} \rangle &= \psi_0(u^2 + \alpha u) + \psi_1 \left(\frac{u}{m}(v + l) - g \right) + \psi_2(-u) + \psi_3 v = \\ &= \psi_0 u^2 + \left(\alpha \psi_0 + \frac{\psi_1}{m}(v + l) - \psi_2 \right) u - g \psi_1 + \psi_3 v.\end{aligned}$$

Сопряженная система имеет вид

$$\begin{cases} \dot{\psi}_0(t) = -\frac{\partial \bar{\mathcal{H}}}{\partial x_0} = 0, \\ \dot{\psi}_1(t) = -\frac{\partial \bar{\mathcal{H}}}{\partial v} = -\psi_3 - \frac{u \psi_1}{m}, \\ \dot{\psi}_2(t) = -\frac{\partial \bar{\mathcal{H}}}{\partial m} = \frac{u(v + l) \psi_1}{m^2} \\ \dot{\psi}_3(t) = -\frac{\partial \bar{\mathcal{H}}}{\partial h} = 0. \end{cases} \quad (45)$$

Получили, что $\psi_0 = \text{const} \leq 0$, $\psi_3 = \text{const}$. Вынесем ψ_0 и ψ_3 из рассмотрения.

Обозначим

$$\Phi(t) = \frac{\psi_1}{m}(v + l) - \psi_2, \quad P(t) = -\frac{\alpha}{2} - \frac{\Phi(t)}{2\psi_0}.$$

Пусть $\psi_0 = 0$. Из условия максимума получим оптимальное управление

$$u^*(t) = \begin{cases} u_{\max}, & \Phi(t) > 0, \\ [0, u_{\max}], & \Phi(t) = 0, \\ 0, & \Phi(t) < 0. \end{cases} \quad (46)$$

Пусть $\psi_0 < 0$. Максимум функции Гамильтона-Понтрягина достигается в вершине параболы $-\psi_0 u^2 + (-\psi_0 \alpha + \Phi)u$ с ветвями вниз, если эта вершина лежит в $[0, u_{\max}]$, иначе достигается на соответствующей границе отрезка $[0, u_{\max}]$. Таким образом, имеем

$$u^*(t) = \begin{cases} u_{\max}, & P(t) > u_{\max}, \\ P(t), & P(t) \in [0, u_{\max}], \\ 0, & P(t) < 0. \end{cases} \quad (47)$$

5.2 Вывод алгоритма

По сравнению с прошлой задачей, перебор моментов переключения является трудоёмким. Действительно, максимальное число переключений $u^*(t)$ в случае $\psi_0 < 0$ трудно получить. Однако мы имеем точную формулу для $u^*(t)$, что позволяет численно и однозначно проинтегрировать систему

Мы реализуем алгоритм перебора начальных значений сопряженных переменных. Получим представление для $u^*(t)$ в особом режиме ($\psi_0 = 0, \Phi(t) \equiv 0$).

$$\begin{aligned} \Phi &= \frac{\psi_1}{m}(v+l) - \psi_2 \equiv 0. \\ \frac{d\Phi}{dt} &= \frac{(\dot{\psi}_1(v+l) + \psi_1 \dot{v})m - \dot{m}\psi_1(v+l)}{m^2} - \dot{\psi}_2 = \\ &= \frac{v+l}{m} \left(-\psi_3 - \frac{u\psi_1}{m} \right) + \frac{\psi_1}{m} \left(\frac{u}{m}(v+l) - g \right) + \underbrace{\frac{u\psi_1(v+l)}{m^2}}_{=0} - \dot{\psi}_2 = \\ &= -\frac{1}{m} (\psi_3(v+l) + \psi_1 g) \equiv 0. \end{aligned}$$

Следовательно, $\psi_1 = -\psi_3(v+l)/g$. Вычислим производную по t и сравним с правой частью соответствующего уравнения сопряженной системы (45).

$$\dot{\psi}_1 = -\frac{\psi_3}{g}\dot{v} = -\frac{\psi_3 u(v+l)}{m} + \psi_3 = -\psi_3 - \frac{u\psi_1}{m}.$$

$$\boxed{u = \frac{2\psi_3 m g}{\psi_3(v+l) - \psi_1 g}}.$$

Отдельно отметим метод перебора $(\psi_0, \psi_1^0, \psi_2^0, \psi_3^0)$.

- $\psi_0 = 0$. Достаточно перебрать $(\psi_1^0, \psi_2^0, \psi_3^0) \in S^3$ — единичная сфера с нулевым центром в пространстве \mathbb{R}^3 . Введём полярные координаты. Двойным циклом перебираем полярные координаты (углы).
- $\psi_0 < 0$. Достаточно перебрать S^4 . Вводим линейную сетку для $\psi_0 \in (0, 1]$. Далее параметризуем сферу с нулевым центром в пространстве \mathbb{R}^3 и радиусом $\sqrt{1 - \psi_0^2}$, аналогично прошлому пункту.

5.3 Алгоритм численного решения задачи

В скобках отметим шаги, которые также или вместо выполняются в случае $\psi_0 < 0$.
Параметры алгоритма:

- $(K + 1$ — число элементов в сетке по ψ_0 .)
- $N + 1$ — число элементов в сетке по полярным координатам.
- ε_{tol} — абсолютная погрешность сравнения с нулём.
- H_{tol} — абсолютная погрешность сравнения достигнутой высоты с H .

Тело алгоритма:

0. Проверить условие взлёта $u_{\text{max}} > gm_0/l$.
1. (Создать сетку по $\psi_0 \in [\varepsilon_{\text{tol}}, 1]$.)
2. Создать двумерную сетку по полярным координатам φ, θ : $\varphi \in [0, 2\pi], \theta \in [-\frac{\pi}{2}, \frac{\pi}{2}]$.
3. (Цикл по $\psi_{0k}, k = \overline{0, K}$.)
4. Двойной цикл по $\varphi_i, \theta_j, i, j = \overline{0, N}$.
5. Присваиваем $r = 1$ (или присваиваем $r = \sqrt{1 - \psi_{0k}^2}$), вычисляем сопряженные переменные:

$$\begin{cases} \psi_1^0 = r \cos \varphi_i \sin \theta_j, \\ \psi_2^0 = r \sin \varphi_i \sin \theta_j, \\ \psi_3^0 = r \cos \theta_j. \end{cases}$$

6. Внутри циклов интегрируем систему

$$\begin{cases} \dot{x}_0 = u^2 + \alpha u, \\ \dot{v} = \frac{u}{m}(v + l) - g, \\ \dot{m} = -u, \\ \dot{h} = v, \\ \dot{\psi}_1 = -\psi_3 - \frac{u\psi_1}{m}, \\ \dot{\psi}_2 = \frac{u\psi_1(v + l)}{m^2}, \\ \dot{\psi}_3 = 0, \\ x_0 = 0, v(0) = 0, m(0) = m_0, h(0) = 0, \\ \psi_1(0) = \psi_1^0, \psi_2(0) = \psi_2^0, \psi_3(0) = \psi_3^0. \end{cases} \quad (48)$$

до момента $h \geq -\varepsilon_{\text{tol}}$ или $m \geq M$.

Внутри системы вычисляем $\Phi = \frac{\psi_1}{m}(v + l) - \psi_2$ и управление

$$u = \frac{2\psi_3 mg}{\psi_3(v + l) - \psi_1 g} \quad (49)$$

при $|\Phi| \leq \varepsilon_{\text{tol}}$, иначе $u = u_{\text{max}}$ при $\Phi > \varepsilon_{\text{tol}}$, иначе $u = 0$.

(Или же внутри системы вычисляем $P = -\frac{\alpha}{2} - (\frac{\psi_1}{m}(v+l) - \psi_2)/(2\psi_{0k})$ и управление $u = u_{\text{max}}$ при $P > u_{\text{max}} - \varepsilon_{\text{tol}}$, иначе $u = P$ при $P > \varepsilon_{\text{tol}}$, иначе $u = 0$.)

6'. Если сработал случай $m(\tau) = M$, то проверяем

$$\left| h(\tau) - \left(H - v(\tau) \cdot (T - \tau) + \frac{g(T - \tau)^2}{2} \right) \right| < H_{\text{tol}}$$

и в случае успеха интегрируем систему

$$\begin{cases} \dot{x}_0 = 0, \\ \dot{v} = -g, \\ \dot{m} = 0, \\ \dot{h} = v, \\ \dot{\psi}_1 = -\psi_3, \\ \dot{\psi}_2 = \frac{u\psi_1(v+l)}{m^2}, \\ \dot{\psi}_3 = 0, \\ x_0 = \tilde{x}_0(\tau), v(0) = \tilde{v}(\tau), m(0) = \tilde{m}(\tau), h(0) = \tilde{h}(\tau), \\ \psi_1(0) = \tilde{\psi}_1(\tau), \psi_2(0) = \tilde{\psi}_2(\tau), \psi_3(0) = \tilde{\psi}_3(\tau). \end{cases}$$

где начальные значения соответствуют конечным значениям на предыдущем шаге.

6''. Если сработал один из случаев: $h \geq -\varepsilon_{\text{tol}}$ или управление из (49) не лежит в $[0, u_{\text{max}}]$, то выносим траекторию из рассмотрения и движемся дальше по циклу.

7. Если достигнутая высота $h(T)$ совпадает с H , т.е. $|h(T) - H| \leq H_{\text{tol}}$, то сохраняем начальные значения $(\psi_{0k},) \psi_1^0, \psi_2^0, \psi_3^0$, например, в отдельный файл.

8. Обрабатываем шаги 5-7, пока не пройдем все вложенные циклы.

9. Отображаем сохраненные траектории: интегрируем (48), моделируем управление и выводим графики для каждого набора начальных значений. Выбираем ту траекторию, на которой достигается минимум $x_0(T)$.

5.4 Пример работы алгоритма

Запустим лёгкую ракету с большим количеством топлива на высоту $H = 700$. Параметры задачи положим равными $m_0 = 83, M = 5, u_{\max} = 41, g = 9.8, l = 200, T = 3, H = 700, \alpha = 3.45$.

Параметры алгоритма положим равными ($K = 20, N = 70, N = 150, \varepsilon_{\text{tol}} = 10^{-10}, H_{\text{tol}} = 1$). Красным выделим оптимальные значения. Значения округлим до 4-го знака после точки.

В задаче $\frac{m_0 - M}{u_{\max}} \approx 1.9024$.

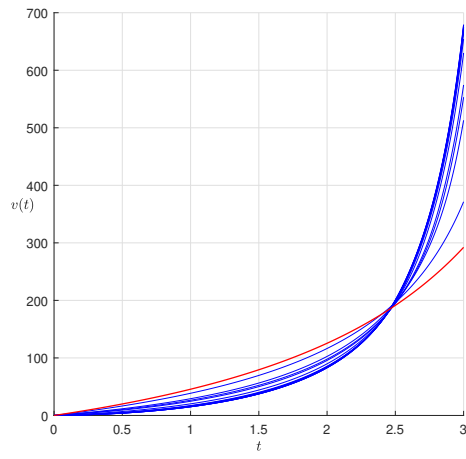
Результат при $\psi_0 < 0$.

- Минимум функционала составил 1106.1391.
- Достигается при $\psi_0 = 0.0316, \psi_1^0 = -0.6422, \psi_2^0 = -0.7537, \psi_3 = 0.1360$.
- Погрешность вычисления конечной высоты составила $\Delta = 0.5482$.

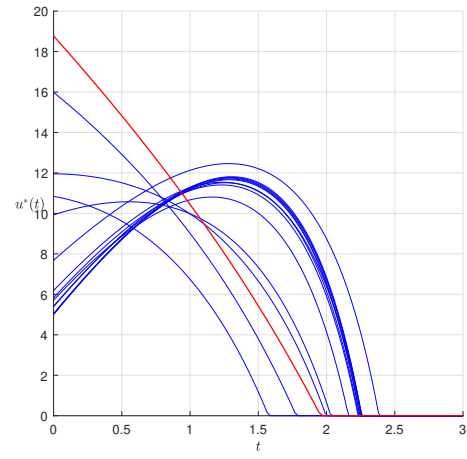
Результат при $\psi_0 = 0$.

- Минимум функционала составил 1515.3860.
- Достигается при $\psi_1^0 = 0.7099, \psi_2^0 = -0.3551, \psi_3 = 0.6081$.
- Погрешность вычисления конечной высоты составила $\Delta = 0.7862$.

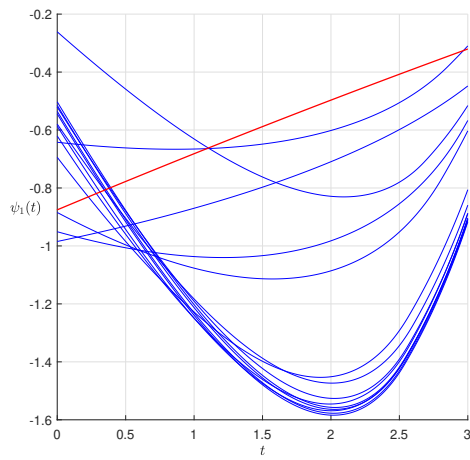
Продемонстрировали весь функционал программы на данном примере. Стоит отметить, что решение о конечном выборе оптимальной траектории остаётся за пользователем. В разных ситуациях нам может быть важна точность попадания, а не значение функционала.



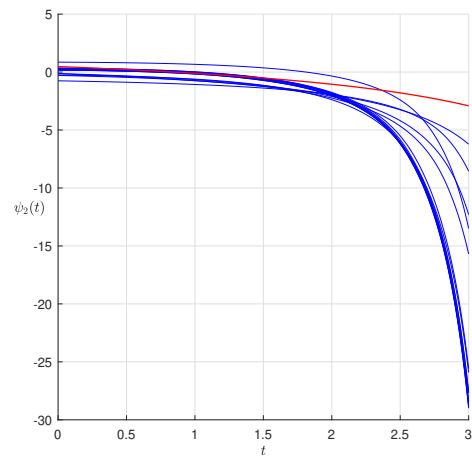
(a) $v(t)$



(b) $u(t)$

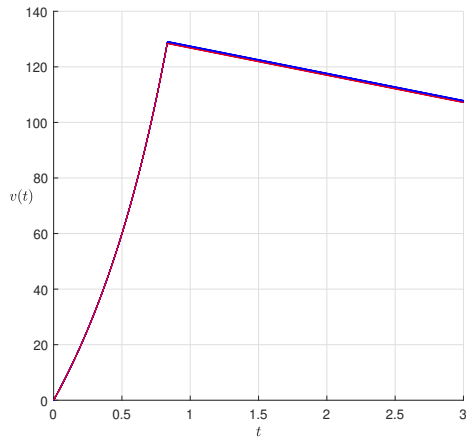


(c) $\psi_1(t)$

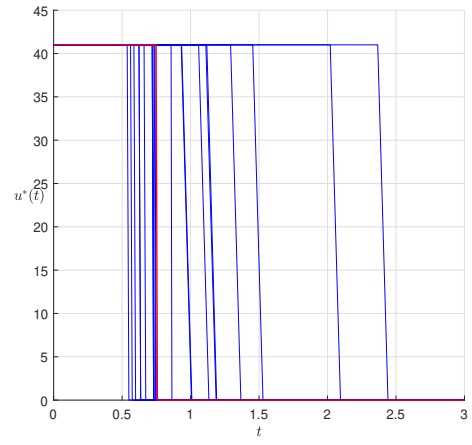


(d) $\psi_2(t)$

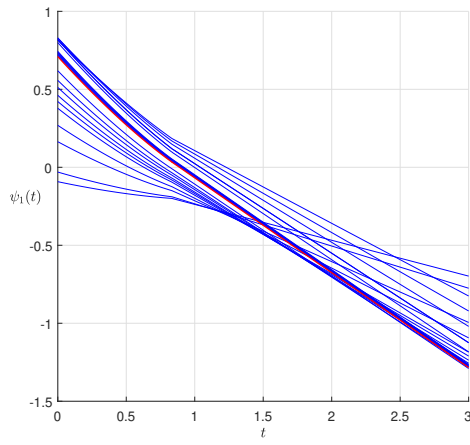
Рис. 3: Результат при $\psi_0 < 0$ в Примере 1.



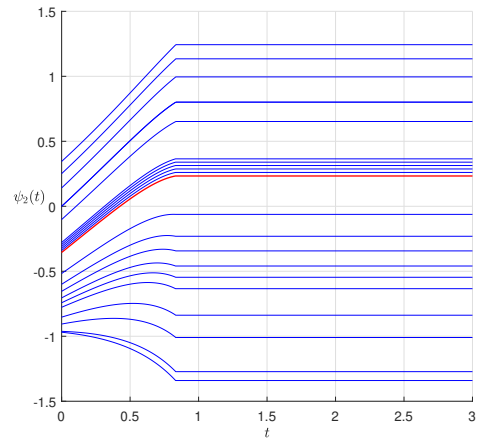
(a) $v(t)$



(b) $u(t)$



(c) $\psi_1(t)$



(d) $\psi_2(t)$

Рис. 4: Результат при $\psi_0 = 0$ в Примере 1.

Список литературы

- [1] *Понтрягин Л. С., Болтянский В. Г., Гаммеркхидзе Р. В., Мищенко Е. Ф.* **Математическая теория оптимальных процессов.**—4-е изд.—М.: «Наука», 1983.—с.23–27,76–80.